

частотный резонансный провал АЧХ вырождается в перегиб. Частоты, на которых коэффициент передачи по силе двухкаскадной системы с потерями равен единице:

$$\omega_{\text{п}}^2 = \frac{1}{MC} \left( 2 + \sqrt[3]{-4\eta^2 + \sqrt{\frac{-1 + 21\eta^2 + 285\eta^4 + 383\eta^6}{27}}} + \right. \\ \left. + \sqrt[3]{-4\eta^2 - \sqrt{\frac{-1 + 21\eta^2 + 285\eta^4 + 383\eta^6}{27}}} \right)$$

при  $\eta > 0,18$  вырождаются в одну. При этом ВИ<sub>F</sub> приобретает волнобразный профиль. Частоты локальных экстремумов функции ВИ<sub>F</sub> могут быть рассчитаны по (2):

$$\omega_m^2 = \frac{1}{2MC} \left( 3 + \sqrt[3]{-15\eta^2 + \sqrt{\frac{-125 + 1050\eta^2 + 3135\eta^4 + 2744\eta^6}{27}}} + \right. \\ \left. + \sqrt[3]{-15\eta^2 - \sqrt{\frac{-125 + 1050\eta^2 + 3135\eta^4 + 2744\eta^6}{27}}} \right). \quad (2)$$

При  $\eta > 0,303$  виброзоляция по силе двухкаскадной системы имеет на низких частотах плавный излом.

В результате роста коэффициентов потерь виброзоляторов помимо снижения добротности двухкаскадной системы наблюдается также заметное повышение ВИ<sub>F</sub> на низких и высоких частотах при незначительном ухудшении виброзолирующих свойств системы на средних частотах. Повышенное подавление низкочастотных составляющих является существенным обстоятельством, позволяющим повысить эффективность применения двухкаскадной системы виброзоляции.

В силу обратимости коэффициентов  $S_1(\alpha\beta)$  и  $S_1(\beta\alpha)$  [5] переходной матрицы, функции ВИ<sub>F</sub> при  $Z_H = \infty$  и ВИ<sub>v</sub> при  $Z_H = 0$  по теореме взаимности эквивалентны. Виброзоляция по скорости двухкаскадной виброзолирующей системы может быть рассчитана по (1). Потери будут влиять на величину ВИ<sub>v</sub> точно так же, как и на ВИ<sub>F</sub>.

#### СПИСОК ЛИТЕРАТУРЫ

1. Ruzicka J. E., Derby T. F. Influence of damping in vibration isolation. Washington: Shock and Vibr. Inform. Center, 1971.
2. Клюкин Н. И. Виброзоляция упругих прокладок и амортизаторов, находящихся под виброактивными механизмами (обзор) // Акуст. журн. 1979. Т. 25. № 3. С. 321–339.
3. Wang W. M. Minimum effectiveness of isolation mounts at high frequencies // J. Acoust. Soc. Amer. 1971. V. 50. N 5(1). P. 1388–1390.
4. Клюкин Н. И., Клецев А. А. Судовая акустика. Л.: Судостроение, 1982.
5. Тартаковский Б. Д. Матричный метод расчета вибропроводимости одномерной структуры // Тез. IX Всесоюз. акуст. конф. М.: АКИН, секция «К», 1977. С. 131–134.
6. Тартаковский Б. Д. О характеристиках виброзоляции одномерных структур // Тез. IX Всесоюз. акуст. конф. М.: АКИН, секция «К», 1977. С. 127–130.

Акустический институт  
им. Н. Н. Андреева  
Академии наук СССР

Поступило в редакцию  
22.06.90

УДК 532.529:534.19:541.182.45

© 1991 г.

**З. М. Оренбах, Г. А. Шушков**

#### ЭКСПЕРИМЕНТАЛЬНОЕ ОПРЕДЕЛЕНИЕ СКОРОСТИ И КОЭФФИЦИЕНТА ЗАТУХАНИЯ АКУСТИЧЕСКОГО ВОЗМУЩЕНИЯ В ГАЗОЖИДКОСТНОЙ ПЕНЕ

Известные в настоящий момент экспериментальные исследования акустических характеристик газожидкостных смесей пузырьковой структуры [1, 2] относятся к области низких объемных газосодержаний, что объясняется принципиальной трудностью получения сред с высоким газосодержанием из-за коагуляции пузырьков.

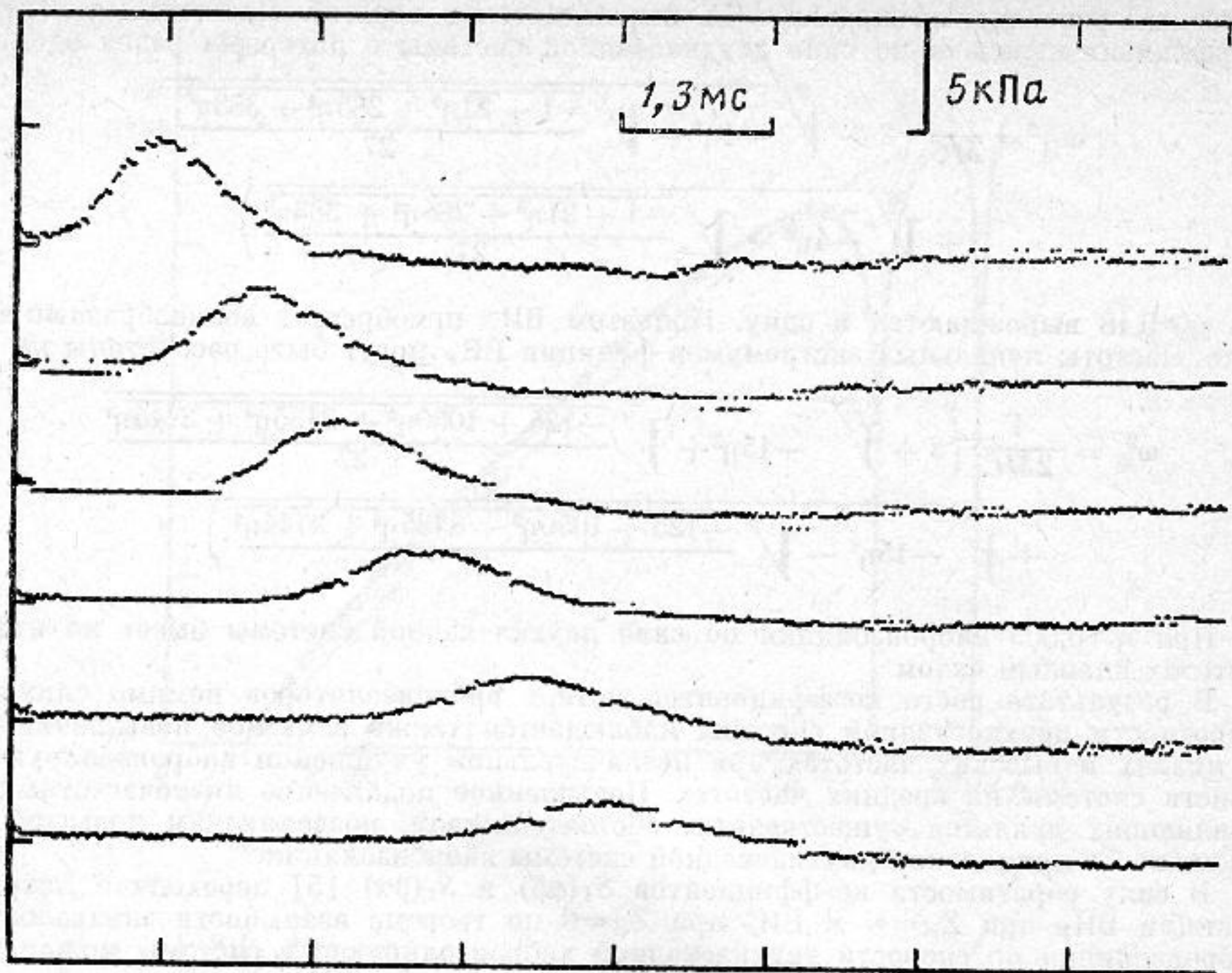


Рис. 1. Эволюция возмущения давления в пене. Показания датчиков

В данной работе приводятся результаты экспериментальных исследований распространения возмущений давления в пене: смеси с объемным газосодержанием более 90%. Такую среду удобно характеризовать параметром кратность  $K$ , связанным с газосодержанием  $\varphi$  зависимостью  $K=1/(1-\varphi)$  [3].

Эксперименты проводились на ударной трубе типа описанной в [1] с шестью пьезоэлектрическими датчиками, расположенными через 0,05 м. Исследуемая среда подавалась в рабочий участок из специального пеногенератора, позволяющего задавать кратность в широком диапазоне с точностью порядка 5%.

В зависимости от условий эксперимента в среде инцинировались импульсы давления, максимальная амплитуда которых лежала в пределах 3–10 кПа. Картина эволюции возмущения (рис. 1) практически не зависела от его начальной амплитуды, что свидетельствует об отсутствии нелинейных эффектов.

Скорость звука в газожидкостной смеси определяется из общего соотношения [4]

$$1/c^2 = (1-X)\rho^2/(\rho_1^2 c_1^2) + X\rho^2/(\rho_2^2 c_2^2), \quad (1)$$

где  $c$  – скорость звука,  $X=\varphi r$  – массовое газосодержание,  $\rho$  – плотность; индекс «1» относит величину к жидкости, «2» – к газу, отсутствие индекса – к смеси.

При обработке эксперимента скорость звука определялась по времени прохождения максимума финитной волны между двумя соседними датчиками и последующего осреднения полученных значений. Расхождение между полученными в разных экспериментах значениями скорости звука в пене определенной кратности не превышало 1%.

Рис. 2. Зависимость скорости звука от газосодержания: (○) – экспериментальные значения

Рисунок 2 показывает хорошее согласование экспериментальных значений скорости звука с теоретическими. Из таблицы видно, что отличие составляет менее 5%. Во всех экспериментах измеренное значение скорости было ниже теоретического, что связано, очевидно, с систематической погрешностью определения кратности пены. Тем не менее возможна реализация обратной задачи: определение кратности пены по результатам измерения скорости звука.

Коэффициент затухания определялся из отношения амплитуд возмущения на соседних датчиках и затем также усреднялся. Из таблицы видно, что коэффициент затухания не обнаруживает зависимости от кратности пены и равен примерно  $3,65 \text{ м}^{-1}$ . Сравнение с данными работы [2] показывает, что возмущение в пене затухает примерно в 6 раз сильнее, чем в пузырьковой смеси с  $\phi \approx 1\%$ .

Кратность	Средняя скорость звука	Скорость звука из (1)	Коэффициент затухания
40	67,57	69,22	3,7
30	57,52	60,52	3,78
23	51,34	53,48	3,65
18	46,16	47,74	3,56

## СПИСОК ЛИТЕРАТУРЫ

1. Кузнецов В. В., Накоряков В. Е., Покусаев Б. Г., Шрейбер И. Р. Экспериментальное исследование распространения возмущений жидкости с пузырьками газа // Нелинейные волновые процессы в двухфазных средах. Новосибирск: ИТФ СО АН СССР, 1977. С. 32–44.
2. Прибатурина Н. А. Влияние давления на распространение возмущений в парожидкостной среде // Неравновесные процессы в одно- и двухфазных системах. Новосибирск: ИТФ СО АН СССР, 1981. С. 5–10.
3. Канн К. Б. Капиллярная гидродинамика пен. Новосибирск: Наука, 1989. 167 с.
4. Накоряков В. Е., Покусаев Б. Г., Шрейбер И. Р. Распространение волн в газо- и парожидкостных средах. Новосибирск: ИТФ СО АН СССР, 1983. 238 с.

Институт проблем  
освоения Севера

Поступило в редакцию  
06.04.90

УДК 531.596.4

© 1991 г.

Ю. В. Нетухов

## ЭФФЕКТ ОДНОВРЕМЕННОГО СУЩЕСТВОВАНИЯ НЕПЕРЕИЗЛУЧАЮЩИХ ПОВЕРХНОСТНЫХ ВОЛН РЭЛЕЯ И СТОУНЛИ

Взаимосвязь волн в атмосфере с сейсмическими колебаниями поверхности Земли представляет интерес в связи с генерацией микробаром и микросейсм при высоконергетических процессах в грунте. Экспериментальные исследования волн от взрывов и землетрясений [1] указывают на преобладающее влияние поверхностных волн в колебаниях поверхности Земли. Это обусловлено тем, что вдали от источника амплитуда поверхностных волн уменьшается с расстоянием по цилиндрическому закону, в отличие от акустических, продольных и сдвиговых волн, амплитуды которых спадают с расстоянием по сферическому закону [2]. Влияние затухания в обеих средах приводит к тому, что преобладание поверхностных волн становится заметным лишь для волн с периодами порядка нескольких десятков секунд [2], на распространение которых может существенно повлиять сила тяжести [2, 3]. Поэтому, цель данной работы состоит в исследовании влияния гравитации Земли на распространение волн Рэлея и Стоунли вдоль плоской границы раздела соответствующих сред.

Для решения поставленной задачи необходимо провести анализ соответствующих решений дисперсионного уравнения, при получении которого воспользуемся следующими упрощениями: атмосфера считается изотермической, Земля моделируется однородным упругим полупространством. Выберем начало системы координат  $x, y, z$  на границе раздела, а ось  $z$  направим вверх. Уравнения, описывающие распространение волн в твердом теле, записывается через потенциалы смещений продольных  $\Phi$  и сдвиговых  $\Psi$  волн в следующем виде [2]:

$$\frac{\partial^2 \Phi}{\partial x^2} + \frac{\partial^2 \Phi}{\partial z^2} = \frac{1}{c_l^2} \frac{\partial^2 \Phi}{\partial t^2}, \quad \frac{\partial^2 \Psi}{\partial x^2} + \frac{\partial^2 \Psi}{\partial z^2} = \frac{1}{c_l^2} \frac{\partial^2 \Psi}{\partial t^2},$$